

Ежегодная международная научно-практическая конференция  
«РусКрипто'2020»

# О НОВОМ АЛГОРИТМЕ КОНТРОЛЯ ЦЕЛОСТНОСТИ ДАННЫХ

Владимир Фомичёв, Алиса Коренева, Тимур Набиев



КОД БЕЗОПАСНОСТИ

# Актуальность

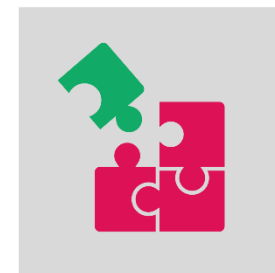
**Контроль целостности (КЦ):** присоединение создателем информации (отправителем) к информационному  $l$ -битовому блоку  $m$ -битового кода контроля целостности,  $m < l$ .

**Код контроля целостности (ККЦ):** двоичная комбинация, связанная с блоком.

Используемые алгоритмы КЦ имеют недостатки:

- Надёжные криптографические хэш-функции требовательны к ресурсам.
- Циклические избыточные коды (CRC) обеспечивают помехоустойчивое кодирование, но поиск коллизии весьма вероятен.

**Актуальная задача** – построение альтернативных алгоритмов контроля целостности (АКЦ).



## Цель исследования

Разработка скоростных АКЦ для больших массивов (ПО).

Важно достичь приемлемого компромисса между криптографическими свойствами АКЦ и ресурсами, необходимыми для его реализации.



# Криптографические и эксплуатационные требования к АКЦ

- Биективность преобразования, на основе которого строится АКЦ  
(позволяет получать более точные оценки вероятности совпадения двух ККЦ для различных блоков)
- Полное перемешивание входных данных, то есть существенная зависимость каждого бита ККЦ от каждого бита блока данных  
(позволяет точно контролировать целостность, затрудняет навязывание ложных блоков)
- Невысокая вычислительная и емкостная (по памяти) сложность реализации  
(позволяет эффективно контролировать целостность больших массивов данных, в том числе в условиях ограниченных ресурсов)

## Задача генерации ККЦ

Построить алгоритм генерации  $m$ -битового ККЦ для информационного  $l$ -битового блока.

Для контроля целостности файла размера более  $l$  бит файл разбивается на отрезки по  $l$  бит и для каждого отрезка генерируется уникальный ККЦ.

Это ограничение не является принципиальным.

В докладе  $l=8192$  бита (1КБайт),  $m=128$  бит.



# Обозначения

$V_n$  — множество двоичных  $n$ -мерных векторов;

$\bar{X}$  — двоичное представление числа  $X$  из кольца вычетов  $Z_{2^{64}}$ ;

$\boxplus$  — сложение чисел по модулю  $2^{64}$ ;  $\oplus$  — XOR-суммирование;

$s(a_0, \dots, a_7)$  — функция **вполне перемешивающего**<sup>[1]</sup>  $s$ -блока размера  $8 \times 8$  бит;

$s_0(a_0, \dots, a_7), \dots, s_7(a_0, \dots, a_7)$  — булевы координатные функции  $s$ -блока;

$\varphi$  — регистровое преобразование множества состояний аддитивного генератора длины 16 над  $V_{64}$  с одной обратной связью  $f(X_0, \dots, X_{15})$  (в ячейке записан вычет  $X \in Z_{2^{64}}$  или, что равносильно, вектор  $\bar{X} \in V_{64}$ ):

$$\varphi(X_0, \dots, X_{15}) = (X_1, \dots, X_{15}, f(X_0, \dots, X_{15})).$$

[1] V.M. Fomichev. Matrix-graph approach for studying nonlinearity of transformations on vector space, CTRcrypt 2019, [https://ctcrypt.ru/files/files/2019/materials/08\\_Fomichev.pdf](https://ctcrypt.ru/files/files/2019/materials/08_Fomichev.pdf)

# АКЦ (1)

Алгоритм генерации 128-битового ККЦ блока 1 КБайт реализует функцию  $\psi(g^t): V_{8192} \rightarrow V_{128}$ , где  $g: V_{8192} \rightarrow V_{8192}$  — преобразование множества состояний схемы из 8 идентичных аддитивных генераторов  $AG_0, \dots, AG_7$ , функция обратной связи АГ

$$f(X_0, \dots, X_{15}) = X_0 \boxplus X_5 \boxplus X_{10} \boxplus X_{15}.$$

При  $t \geq 0$  преобразование  $S^{(t)}$  задано формулой:

$$S^{(t)} = (s_0^{(t)}(\omega^{(t)}), \dots, s_7^{(t)}(\omega^{(t)})), \text{ где}$$

- $\omega^{(t)} = (\sigma(\bar{X}_{0,15}^{(t)}), \dots, \sigma(\bar{X}_{7,15}^{(t)}))$ ,
- $\sigma(x_0, \dots, x_{63}) = x_0 \oplus \dots \oplus x_{63}$  — линейная булева функция четности веса вектора  $(x_0, \dots, x_{63})$ ,
- $s_0^{(t)}(\omega^{(t)}) = s(\omega^{(t)})$ ,  $s_j^{(t)}(\omega^{(t)}) = s(s_{j-1}^{(t)}(\omega^{(t)}) \oplus \omega^{(t)})$ ,  $j = 1, \dots, 7$ ,
- $s$  — нелинейный биективный  $s$ -бокс из ГОСТ 34.11-2018 (Стрибог) и ГОСТ 34.12-2018 (Кузнечик).

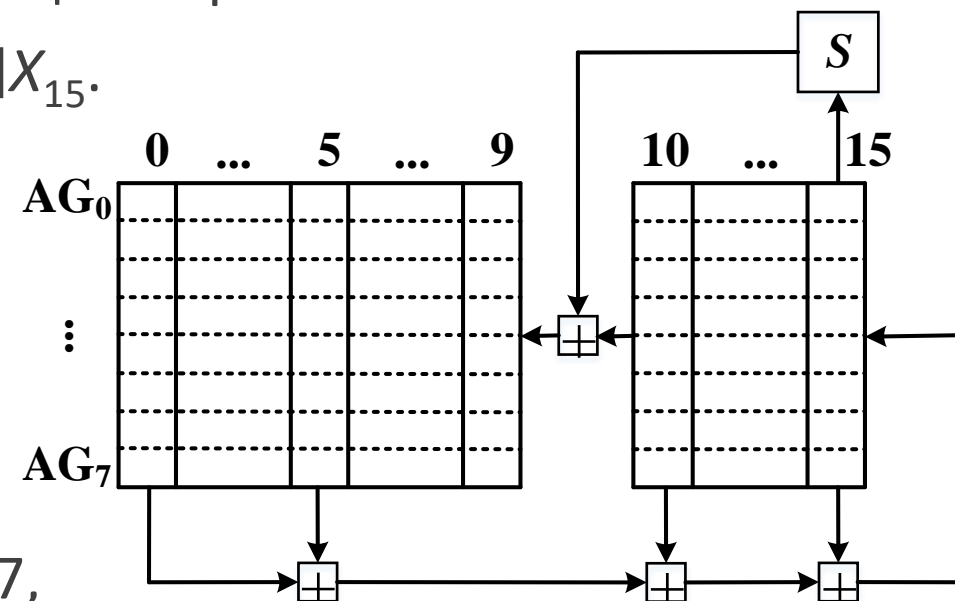


Рисунок — Регистр над  $((\mathbb{Z}_{2^{64}})^8, \boxplus)$

## АКЦ (2)

АКЦ моделируется автономным автоматом Мили без выходов  $A=(V_{8,16,64},g)$ , где  $g$  – функция переходов и  $V_{8,16,64}=\{x_{i,j,k}\}$  – множество состояний автомата, представимое как трехмерное множество двоичных чисел, множество координат которых биективно соответствует подмножеству  $P$  элементов трехмерного пространства с целыми координатами, ограниченному параллелепипедом:  
 $0 \leq i < 8, 0 \leq j < 16, 0 \leq k < 64$ .

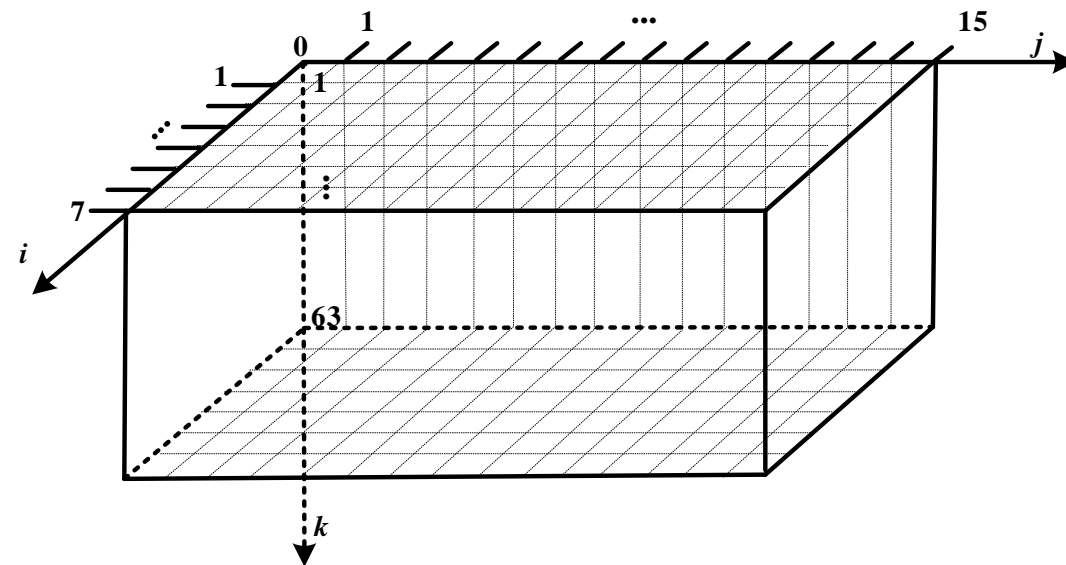


Рисунок – Параллелепипед, содержащий множество вершин (с целыми координатами) перемешивающего графа преобразования  $g$



## АКЦ (3)

Множество состояний автомата в такте  $t \geq 0$  обозначим  $V_{8,16,64}^{(t)} = \{x_{i,j,k}^{(t)}\}$ , или матрицей  $M_A^{(t)} = (X_{i,j}^{(t)})$  над  $Z_{2^{64}}$ , где  $\bar{X}_{i,j}^{(t)} = (x_{i,j,0}^{(t)}, \dots, x_{i,j,63}^{(t)})$  – состояние в  $t$ -м такте  $j$ -й ячейки АГ $_j$ . Функция переходов автомата задана равенствами:

$$(X_{i,0}^{(t+1)}, \dots, X_{i,n-1}^{(t+1)}) = (Y_{i,1}^{(t)}, \dots, Y_{i,n-1}^{(t)}, f(Y_{i,0}^{(t)}, \dots, Y_{i,n-1}^{(t)})),$$

где  $Y_{i,j}^{(t)} = X_{i,j}^{(t)}$  при  $j \neq 10$  и  $Y_{i,10}^{(t)} = X_{i,10}^{(t)} \boxplus S^{(t)}$ ;  $0 \leq i < 8$ .

Код, генерируемый АКЦ блока данных, определим как 128-битовую строку:

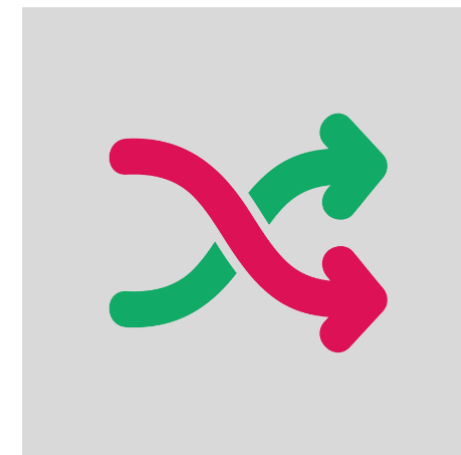
$$\psi(g^t)(V_{8,16,64}) = (X_{0,15}^{(t)} \boxplus X_{1,15}^{(t)} \boxplus X_{2,15}^{(t)} \boxplus X_{3,15}^{(t)}, X_{4,15}^{(t)} \boxplus X_{5,15}^{(t)} \boxplus X_{6,15}^{(t)} \boxplus X_{7,15}^{(t)}). \quad (1)$$

# Свойства АКЦ: биективность

Преобразование  $g$  биективное. Число прообразов любого значения функции  $\psi(g^t)$  равно  $2^{l-2r}$ .

Следовательно, при случайном равновероятном выборе начального состояния  $u$  из множества  $V_{8,16,64}$  вероятность получить заданный код  $Q$  равна  $2^{-128}$ .

Среднее число опробований для поиска блоков  $u, u'$  таких, что  $u \neq u'$  и  $Q(u) = Q(u')$ , оценивается с помощью «парадокса дней рождения» величиной порядка  $2^{64}$ .



## Свойства АКЦ (2): перемешивание

Перемешивающие свойства АКЦ оценены с помощью развития МГП для оценки перемешивающих свойств модифицированных АГ [2].

Для перемешивания в крайних ячейках регистров (требуется в соответствии с (1)) оценен локальный экспонент перемешивающего орграфа  $\Gamma(g)$  :

$$*U\text{-exp}\Gamma(g) \leq 6,$$

где  $U = \bigcup_{0 \leq i < 8; 0 \leq k < 64} \{(i, 15, k)\}$ . Оценка следует из [3, с.457] (для всех допустимых пар вершин  $((i, 15, j), (i', 15, j'))$  оценена длина пути из одной вершины в другую, проходящего через некоторую вершину с петлей).

[2] V.M. Fomichev, A.M. Koreneva. Mixing properties of modified additive generators, J. Appl. Industr. Math., 11:2 (2017), 215–226 pp., DOI: [10.1134/s1990478917020077](https://doi.org/10.1134/s1990478917020077)

[3] Fomichev, Ya.E. Avezova, A.M. Koreneva, S.N. Kyazhin. Primitivity and Local Primitivity of Digraphs and Nonnegative Matrices, J. Appl. Industr. Math., 12:3, 2018, 453-469 pp. DOI: [10.1134/s1990478918030067](https://doi.org/10.1134/s1990478918030067)

## Свойства АКЦ: выбор числа тактов $t$

Для надежного контроля целостности необходимо вычисление ККЦ с помощью вполне перемешивающей функции.

Установлено, что при  $t \geq 6$  обе функции, формирующие ККЦ,

$$X_{0,15}^{(t)} \boxplus X_{1,15}^{(t)} \boxplus X_{2,15}^{(t)} \boxplus X_{3,15}^{(t)} \text{ и}$$

$$X_{4,15}^{(t)} \boxplus X_{5,15}^{(t)} \boxplus X_{6,15}^{(t)} \boxplus X_{7,15}^{(t)}$$

вполне перемешивающие.

Экспериментально определено, что при  $6 \leq t \leq 100$  свойство полного перемешивания этих функций сохраняется.

# Свойства АКЦ: реализация

Сложность вычисления функции  $\psi(g^t)$  оценивается величиной порядка  $t(5u+8v)$ , где  $u$  – вычислительная сложность суммирования двух чисел по mod  $2^{64}$ ,  $v$  – сложность вычисления  $s$ -блока.

В таблице даны результаты измерения скорости генерации и времени вычисления 128-битового ККЦ для блока данных 1 Кбайт при различных  $t$ .

Таблица. Скорость генерации и время вычисления ККЦ

Число тактов, $t$	6	12	18	36	72	96
Скорость генерации, Мбит/сек	3500	1900	1200	650	330	250
Время вычисления, мс	0,018	0,032	0,049	0,096	0,2	0,25

Эксперименты проведены на ПЭВМ с процессором Intel Core i5-8600 и тактовой частотой 3.1 GHz.

Спасибо за внимание!

Вопросы ?

